

ČESkoslovenská
Socialistická
Republika
(19)



ÚŘAD PRO VYNÁLEZY
A OBJEVY

POPIS VYNÁLEZU K PATENTU

251051

(11) (B2)

(51) Int. Cl.⁴
B 60 C 15/02

(22) Přihlášeno 02 06 77
(21) (PV 3647-77)

(32) (31) (33) Právo přednosti od 04 06 76
(23099/76), od 24 09 76 (39670/76),
od 24 09 76 (39672/76), od 14 10 76
(42689/76), od 01 03 77 (8501/77)
a od 04 03 77 (9161/77)

Velká Británie

(40) Zveřejněno 31 08 81
(45) Vydáno 15 08 88

(72)
Autor vynálezu

FRENCH TOM, HOLMES THOMAS, SUTTON COLDFIELD,
MITCHELL WILLIAM ERIC, COVENTRY, KENNEY MICHAEL JOHN,
SUTTON COLDFIELD (Velká Británie)

(73)
Majitel patentu

DUNLOP LIMITED, LONDÝN (Velká Británie)

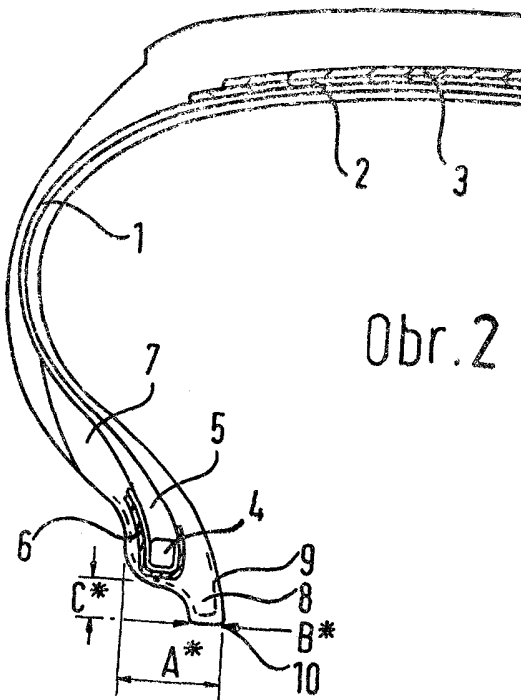
(54) Pneumatika kola motorového vozidla

1

Je popsána pneumatika kola motorového vozidla, která sestává z běhounu, bočnic a dvojice patek, z nichž každá má v podstatě neroztažnou prstencovou výztuž, přičemž patky jsou usazeny na sedlech po obou stranách ráfku.

Novost řešení spočívá v tom, že alespoň jedna patka pneumatiky je opatřena radiálně dovnitř vyčnívající špičkou (10), která obsahuje elastomerní materiál uložený podélneč od prstencové výztuže (4) až ke hrotu ve směru radiálně a osově dovnitř vzhledem k prstencové výztuži (4), kterýžto elastomerní materiál je poddajný ve směru kolmém na jeho délku, pro montáž pneumatiky, a v podstatě tuhý ve směru své délky.

2



Obr. 2

Vynález se týká pneumatiky kola motorového vozidla.

U obvyklých pneumatik se patky pneumatiky po namontování na kuželovité sedlo ráfku na svých sedlech udržují pomocí vnitřního tlaku vzduchu a třecího utažení v důsledku stlačení elastoméru pod patkovým drátem. Když se ale tlak v pneumaticce sníží, sníží se také přídržná síla vyvolaná vnitřním přetlakem vzduchu, až konečně při dostatečně nízkém vnitřním tlaku se stav kola stane nebezpečným, neboť patky se mohou vysunout ze svých sedel vlivem bočních sil, které mohou vzniknout při manévrování v zájmu odvrácení nehody.

Evropský průmysl užívá mnoho testů pro kontrolu vychýlení patek. Typickým testem je testování pneumatiky nasazené na vnějším předním kole, to jest levém v pravotočivé zatáčce tvaru J při rychlosti 40 kg/hod a pak náhlé plné vytíčení řízení. Test se opakuje při postupně nižším nahoruštění pneumatiky až nastane vychýlení. Tlak se obvykle snižuje postupně vždy o 14 kPa. Při takovém testu typické radiální automobilové pneumatiky dochází k vychýlení patky při tlacích rádu 34 kPa až 103 kPa.

Vychýlení patky pneumatiky z jejího sedla má vliv na kontrolu vozidla. Používá-li se ráfků s prohlubní pro montáž pneumatiky, bývá tu zpravidla vážné nebezpečí úplného spadnutí pneumatiky s jejího ráfku.

Při jízdě s vozidlem vyvolává zatáčení příčné síly, které běhou na ráfku posune sedlo. Tyto síly se současně kordem přenesou k patce pneumatiky. V oblasti pneumatiky při stykové ploše s vozovkou vznikají osové síly, to jest ve směru osy pneumatiky, a točivé momenty, to jest momenty kolem obvodové čáry vedené patkou. Bez tlaku vzduchu mohou tyto síly být postačující k tomu, aby zvedly vnitřní obvod patky, čímž se zmenší třecí síla mezi základnou patky a jejím sedlem na ráfku, která v uvedeném splaském stavu je jedinou silou, která udržuje patku na jejím sedle. Následkem toho sjíždí patka dolů po svém kuželovitém sedlu bočně dovnitř od obruby ráfku, čímž se sníží napětí v patkovém drátu, přídržná síla patky se velmi rychle sníží pod hodnotu vychylovacích sil a patka oplustí své sedlo a sklouzne do prohlubně.

Dosavadní pokusy o vyřešení tohoto problému se soustředovaly na použití ráfků, které nemají prohlubeň. Výsledný ráfek s plochou základnou odstraňuje nebezpečí oddělení pneumatiky od kola, má ale nevýhodu spočívající v tom, že patky pneumatiky se obvykle mohou osově pohybovat mezi obrubami ráfku. Příčná síla, která se může přenést mezi kolem a vozovkou, se tedy náhle mění z nuly, když patka se pohybuje přes ráfek, na maximum, když jsou obě patky spolu proti obrubě. To může v krajním případě způsobit ztrátu kontroly nad vozidlem.

Totéž platí pro základnu ráfku s prohlub-

ní s plnicím zařízením, ráfek s montážní prohlubní uzavřenou zvlنěním po nasazení pneumatiky nebo dělený ráfek.

Dělený ráfek sestává z několika součástek, což je spojeno s problémy z hlediska uzavření vzduchové komory pneumatiky, přináší zvýšení nákladů, zvýšení hmotnosti a komplikuje údržbu. Plnicí soustava prohlubně také zvyšuje hmotnost ráfku, náklady a komplikuje údržbu, i když pak lze použít jednodlný ráfek, sestávající z jednoho kusu. Žádný z uvedených dosavadních řešení však nevyřeší problém přenosu bočních sil, když se patka pohybuje osově napříč ráfku.

Byly navrženy také rozpěrné kroužky pro patky ve tvaru tuhých, po obvodu uspořádaných kroužků, vyplňujících prostor mezi oběma patkami. Byly navrženy pro použití s dělenými ráfkami, aby se obě patky udržovaly na svých místech, viz například britský patentový spis č. 222 768. Taková zařízení sice splňují na ně kladené požadavky, avšak zvyšují složitost beztak již složitého děleného ráfku.

Nedávno bylo v USA patentovém spisu č. 3 951 192 navrženo vytvořit na vnějších spodních plochách bočnic pneumatiky hákovité výstupky takového tvaru, aby zapadly do obvodu obruby ráfku a zabránily patce v pohybu. Boční síly však patku vyvrátí a její vnitřní část se zvedne, takže tato konstrukce nemůže proto být podle našich zkušeností využívající. Kromě toho je zde pravděpodobnost poškození obruby ráfku obrubníky chodníků.

Z uvedeného rozboru tedy vyplývá, že všechny dosavadní známé pokusy zajistit bezpečné zachycení patek a spolehlivou kontrolu vozidla při uniknutí vzduchu z pneumatiky budou nevedly k uspokojivému řešení, anebo byly příliš složité a proto i nákladné.

V automobilovém průmyslu se pneumatiky na ráfky běžně montují automaticky. S použitím stroje, který převálí obě patky přes jednu obrubu, přičemž k dosažení potřebné vůle se využívá prohlubeň, se použije tak zvané „výbušné“ nahušťovací zařízení, kterým se pneumatika takřka okamžitě nahustí a patky se přitlačí na svá příslušná sedla. To znamená, že průmysl vyžaduje pneumatiky a ráfky vhodné pro použití tohoto strojního zařízení.

Bыло provedeno vyšetření povahy sil způsobujících při jízdě vysunutí patek pneumatiky z ráfku. Byly zkoumány také síly působící při montáži pneumatik na ráfek a jejich demontáži. Bylo zjištěno, že síly vyvolané stykem s vozovkou a způsobující vysunutí patek, jsou zcela odlišné od sil působících při demontáži pneumatiky s ráfku, když je kolo s pneumatikou sejmuto s vozidla za účelem výměny nebo opravy pneumatiky.

Uvedené nedostatky známých pneumatik

odstraňuje pneumatika kola motorového vozidla, která sestává z běhounu, bočnice a dvojice patek, z nichž každá má v podstatě neroztažnou prstencovou výztuž, přičemž patky jsou usazeny na sedlech po obou stranách ráfku, podle vynálezu, jehož podstata spočívá v tom, že alespoň jedna patka pneumatiky je opatřena radiálně dovnitř tří vycíňavající špičkou, která obsahuje elastomerní materiál uložený podélne od prstencové výztuže až ke hrotu ve směru radiálně a osově dovnitř vzhledem k prstencové výztuži; kterýžto elastomerní materiál je poddajný ve směru kolmém na jeho délku, pro montáž pneumatiky, a v podstatě tuhý ve směru své délky.

Špička tedy směřuje šikmo, to jest směrem k ose ráfku a současně k jeho střední rovině, což znamená, že špičky jedné pneumatiky směřují šikmo k sobě.

Dále je výhodné, jestliže na špičce je u jejího vnějšího povrchu uložena výztužná vrstva pro zvýšení tuhosti špičky, přičemž tato výztužná vrstva je umístěna od špičky kolem osově vnitřního povrchu špičky až nejméně do radiální výšky středu prstencové výztuže.

Je výhodné, jestliže výztužná vrstva je uložena v oblasti sedla patky kolem špičky a nahoru podél osově vnitřního povrchu špičky až nejméně do radiální výšky středu prstencové výztuže, přičemž výztužná vrstva obsahuje nejméně jednu vložku materiálu, zejména pletenou nylonovou textilii s perlínkovou vazbou.

Z hlediska dosažení potřebných provozních vlastností pneumatiky je dále výhodné, jestliže elastomerní materiál špičky má tvrdost, měřenou za laboratorních podmínek, vyšší než 50° podle Shoreovy stupnice, přičemž špička patky je profilovaná doplňkově k obvodové drážce na sedle ráfku:

V konkrétním provedení pneumatiky podle vynálezu je výhodné, jestliže osová délka špičky a sedla patky pneumatiky, narovenané a uložené v osovém směru pro montáž pneumatiky, měřeno od hrotu špičky k patnímu bodu, který je průsečíkem čáry vedené podél usazovací části patky pneumatiky a čáry podél části patky stýkající se s obrubou, je menší než vzdálenost od patního bodu na ráfku, měřená podél sedla patky a k nejbližšímu bodu na osově převrácené straně obvodové drážky, přičemž špička pneumatiky se v osovém směru zužuje, to jest směrem k ose ráfku zeslabuje.

Dále je výhodné, jestliže špička obsahuje výztužnou vrstvu upravenou kolem vnějšího povrchu špičky a vedle ní, přičemž tato výztužná vrstva obsahuje tkanou textilii s perlínkovou vazbou, ve které směr osnovy a útku probíhá v podstatě v úhlí 45° k radiálnímu směru.

Bočnice je od prstencové výztuže směrem k oblasti střední bočnice s výhodou zesílena proti ohnutí.

Nový a vyšší účinek vynálezu spočívá ze-

jména ve zlepšení provozních vlastností pneumatiky, která se nesmíkně s ráfku ani při uniknutí všeho vzduchu z jejího vnitřního prostoru, takže se podstatně snižuje nebezpečí nehody vozidla, zejména při náhlém úniku vzduchu.

Vynález bude v dalším bliže popsán s pomocí připojených výkresů znázorňujících příklady jeho provedení. Jednotlivé výkresy znázorňují:

na obr. 1 montážní celek prvního provedení radiální pneumatiky a ráfku, na obr. 2 detailní poloviční řez pneumatikou z obrázku 1 před nasazením na ráfek, na obr. 3 je znázorněna zploštělá pneumatika známá pod ochrannou známkou Denovo, na obrázku 4 je znázorněn poloviční řez ráfkem vhodným pro tyto pneumatiky, obr. 5 je detail ráfku, na obr. 6 řez zatíženou prázdnou pneumatikou na ráfku, na obr. 7 až 10 detaily patky pneumatiky v tomto stavu, při jejím nasazování na ráfek a snímání s ráfku, na obr. 11 řez dalším provedením pneumatiky, na obr. 12 detailní poloviční řez pneumatikou z obr. 11, na obr. 13 detailní řez ráfekem vhodným pro tuto pneumatiku, na obr. 14 poloviční řez dalším provedením pneumatiky známé pod ochrannou známkou Denovo, na obr. 15 řez dalším provedením radiální pneumatiky a ráfekem, na obr. 16 podrobný poloviční řez pneumatikou z obr. 15, na obr. 17 další jiné provedení pneumatiky známé pod ochrannou známkou Denovo, na obr. 18 podrobný poloviční řez pneumatikou z obr. 17, na obr. 19 řez dalším jiným provedením radiální pneumatiky známé pod ochrannou známkou Denovo, na obr. 20 podrobný řez pneumatikou z obr. 19, na obr. 21 řez dalším provedením bezvzdušnicové pneumatiky vhodné pro ráfek z obr. 13, na obr. 22 alternativní provedení ráfku s upraveným profilem, na obr. 23 řez radiální pneumatikou vhodnou pro ráfek z obr. 22, na obr. 24 řez pneumatikou známou pod ochrannou známkou Denovo nasazenou na ráfku z obr. 22 a na obr. 25 řez známou radiální pneumatikou upravenou pro ráfek podle obr. 22.

Obr. 1 znázorňuje provedení radiální pneumatiky typu 180 65 SR 340 s ocelovou vložkou, která je nasazena na ráfek o šířce 110 mm a průměru 342 mm.

Jak znázorněno na obr. 2, má pneumatika jedinou radiální vložku 1 kostry z umělého hedvábí a podušku obsahující dvě ocelové vložky 2, 3, uložené v úhlovém rozsahu 18° na každé straně od střední roviny pneumatiky. První ocelová vložka 2 má osovu šířku 126 mm. Každá prstencová výztuž 4 obsahuje ocelový dráž 6 X 6 ze svinutých pramenů s průměrem 0,96 mm obalený prží. Obvodový pruh 5 uložený nad každou patkou má délku 30 mm a je zhložen z prží o tvrdosti 80° Shoreovy stupnice. Výplň 6 z nylonové tkаниny pro pneumatiky obalené prží je uložena kolem pat-

kového drátu s nylonovými kordy svírajícími s radiálním směrem úhel 45° . Patkový pásek 7 z pryžového materiálu je uložen ve vnější části patky a je veden až do radiální výšky 42 mm. Přídavný pásek 8 z tvrdého pryžového materiálu je uložen radiálně a osově dovnitř vzhledem k prstencové výztuži 4 a vytváří špičku 10. Výztužná vrstva 9 špičky 10 z nylonové tkaniny s perlínkovou vazbou je uložena s kordy tkaniny v úhlu 45° s radiálním směrem tak, že se táhne od patkového pásku 7 kolem vnějšího povrchu patky a špičky 10, jak znázorněno na obr. 2.

Pneumatika se vulkanizuje s použitím upevnacího prstence majícího požadovaný tvar špičky 10, znázorněné na obr. 2 a hotová pneumatika má vystupující špičku 10 z tvrdé pryže obsahující výztužnou vrstvu 9. Špička 10 má osovou délku A* 20 mm, koncovou šířku B* 5 mm a radiální délku C* 6 mm.

Tvrď pryžový materiál přídavného pásku 8 má jmenovitou tvrdost 80° Shoreovy stupnice.

Montážní celek pneumatiky a ráfku znázorněný na obr. 3 je tvořen pneumatikou typu 180 65 SR 340 známou pod ochrannou známkou „Denovo“ nasazenou na ráfek o šíři 110 mm. Takový montážní celek pneumatiky a ráfku může jet poměrně dlouhou dobou i ve splasklé stavu.

Pneumatika je znázorněna podrobněji na obr. 4. Obsahuje jedinou radiální vložku 11 kostry z umělého hedvábí a podušku ze dvou ocelových vložek 12, 23 rozložených v úhlu 18° na každé straně střední roviny pneumatiky. Vnitřní ocelová vložka 12 podušky má šířku 126 mm. Rameno a horní části bočnic pneumatiky jsou vytvořeny z pryžové směsi 14 o vysoké poddajnosti, jak popsáno ve znovu vydaném americkém patentovém spisu (re-issue) č. 29 089.

Na vnitřní ploše pneumatiky je v oblasti jejího věnce nanesen mazací a utěšňovací materiál. Tento materiál slouží jako těsnivo pro proraženou pneumatiku a jako mazivo proti vnitřnímu poškození. Omezuje také vývin tepla vznikajícího při pohybu splasklé pneumatiky.

Spodní bočnice a patka pláště pneumatiky jsou vytvořeny stejně jako v předchozím příkladu a v obou případech jsou pneumatiky nasazeny na ráfek o šířce 110 mm, jak znázorněno na obr. 5. Ráfek se válcuje z oceli o tloušťce 2,33 mm.

Výše popsané montážní celky pneumatiky a ráfku hodí se pro vozidlo mající zatížení nápravy do 8200 N.

Obr. 6 až 10 se týkají funkce patkové pojistky a budou popsány později.

Montážní celek pneumatiky a ráfku podle obr. 11 je menším montážním celkem tvořeným radiální pneumatikou typu 150/65 SR 320 nasazenou na ráfek o šířce 95 mm.

Tloušťka materiálu ráfku je 2,33 mm.

Radiální pneumatika znázorněná na obr. 12 obsahuje jedinou radiální vložku 1 z umělého hedvábí a podušku se dvěma ocelovými vložkami 2, 3, uloženými v úhlovém rozsahu 18° na každé straně střední roviny pneumatiky. První ocelová vložka 2 má osovou šířku 96 mm.

Prstencová výztuž 4 obsahuje ocelový drát 5×4 (prameny X závity) s průměrem 0,96 mm obalený pryží. Obvodový pruh 5 zhotovený z tvrdé pryžové směsi, jak shora uvedeno, je uložen nad patkou a má délku 25 mm. Výplň 6 z bezútkové nylonové tkaniny obalené pryží je uložena nad patkovými dráty s nylonovými kordy svírajícími úhel 45° s radiálním směrem. Patkový pásek 7 z tvrdé pryže je uložen s vnějším přesahem na obvodovém pruhu 5 a vystupuje až do radiální výšky 36 mm.

Přídavný pásek z pryže o tvrdosti 80° Shoreovy stupnice tvoří špičku 10. Výztužný pásek špičky z nylonové tkaniny s perlínkovou vazbou o stejných vlastnostech jako v prvním příkladu je uložen tak, že tvoří vnější povrch špičky 10. Konstrukce špičky 10 je stejná jako v prvním příkladu až na to, že osová délka A* špičky 10 je v tomto případě 18 mm, kdežto v prvním příkladu byla osová délka A* 20 mm. Pneumatika znázorněná na obr. 14 je samonosná typu „Denovo“ (ochr. známka) stejných celkových rozměrů 150 65 SR 320 jako pneumatika na obr. 2. Je nasazena na stejný ráfek jako pneumatika na obr. 12. Tato pneumatika se liší od radiální pneumatiky tím, že její bočnice jsou zesíleny a obsahují pryžovou směs 14 o vysoké poddajnosti. Mazací a utěšňovací vrstva slouží pro samonosnou funkci. Oba tyto významy jsou stejné jako u druhého provedení.

Pneumatiky z obr. 10 až 14 se hodí pro malá vozidla se zatížením nápravy do 5 700 N.

Montážní celek na obr. 15 radiální pneumatiku 240/65-395 nasazenou na ráfek o průměru 395 mm. Konstrukční detaily této pneumatiky jsou znázorněny na obr. 16.

Tloušťka materiálu ráfku je 3,65 mm.

Pneumatika obsahuje radiální pláště 50 z umělého hedvábí s dvěma vložkami a dvě přehnuté obvodové ocelové vložky 51 podušky. Každá patka 54 pneumatiky obsahuje vinutí 6×6 (prameny X závity) z ocelových dráty o průměru 0,96 mm potažené pryží. Obvodový pruh 55 z pryže o tvrdosti 80° podle Shoreovy stupnice je proveden v délce 42 mm. Výplň 56 z nylonové tkaniny potažené pryží je uložena kolem patkového drátu a táhne se až do radiální výšky 42 mm na vnitřní straně patky 54 a 28 mm na vnější straně patky 54. Oba radiální pláště 50 jsou uspořádány kolem patkové sestavy obvyklým způsobem a patkový pásek 57 z pryžové směsi o tvrdosti 80° podle Shoreovy stupnice je uložen na vnější straně obvodového pruhu 55 s přesahem

tak, že se táhne až do radiální výšky 48 milimetrů.

Špička 60 je vytvořena pruhem 58 z pryžové směsi o tvrdosti 80° podle Shoreovy stupnice a výztužný pásek 59 špičky z uylonového materiálu s perlínkovou vazbou jako u prvního příkladu je vytvořen kolem vnější plochy špičky 60 a patky 54. Hmotová pneumatika má tvar znázorněný na obr. 16 a osová délka A* špičky 60 je v tomto případě 20 mm, jako u prvního provedení.

Montážní celek pneumatiky a ráfku znázorněný na obr. 17 je tvořen pneumatikou typu 240 65 3 95 „Denovo“ (ochr. známka) namontovanou na ráfek o průměru 395 mm. Konstrukce pneumatiky znázorněné na obr. 18 a její celkové rozměry jsou stejné jako u pneumatiky podle obr. 16. Ráfek je také stejný jako ráfek v provedení podle obr. 15 a 16. Struktura pneumatiky je v základě stejná jako struktura pneumatiky na obr. 16 až na to, že bočnice jsou zesíleny vrstvou 61 vysoce pružné pryže. Vlastnosti výztužného materiálu jsou stejné jako u prvního příkladu, ale v tomto případě je tloušťka materiálu 15 mm, tloušťka v oblasti středu bočnice je 10 mm a zužuje se ke kostře pod poduškou a ve vrcholovém pásku, jak znázorněno. Vnější bočnice a patkový pásek 57 jsou také silnější než u radiální pneumatiky na obr. 16. Tloušťka pryže bočnice je v oblasti středu bočnice 8 mm.

Montážní celky pneumatiky a ráfku podle obr. 15 až 18 se hodí pro vozidlo se zatížením náprav do 14 kN.

Všechny shora popsané příklady se týkají pneumatik sérije 65, tj. každá má stranový poměr 65 %. Vynález byl také použit u radiálních pneumatik s jiným stranovým poměrem. Provedení vynálezu podle obr. 19 a 20 se týká radiální pneumatiky série 50 v rozmezích 200/50-395 namontované na ráfek o průměru 395 mm, který má stejné rozměry jako v provedení na obr. 15 až 18.

Pneumatika má vrstvu 61 se dvěma vložkami z umělého hedvábí a dvě přehnuté ocelové vložky 62 o šířce 150 mm. Patková oblast je stejná jak u provedení podle obr. 15 až 18.

Vynález byl také použit u pneumatiky se zkříženými vložkami typu „cross-ply“. Příklad takové pneumatiky, znázorněný na obrázku 21 je bezdušová pneumatika 560/13, namontovaná na ráfek o šířce 110 mm a průměru 330 mm. Kostra pneumatiky má dvě vložky 63, 64, z umělého hedvábí.

Patky mají v průřezu stejné rozměry jako první provedení a obsahují 6×6 (prameny X závity) ocelového drátu o průměru 0,96 mm potaženého pryží. Obvodový pruh 70 z pryžového materiálu o tvrdosti 80° Shoreovy stupnice je veden v délce 30 milimetrů a patkový pásek 71 z pryžové směsi o tvrdosti 80° Shoreovy stupnice, vedený až do radiální výšky 42 mm, je umístěn ve vnějších oblastech patky. Špička 72 patky obsahuje výztužný pásek materiálu

s perlínkovou vazbou, přesně stejný jako u prvního provedení.

Jiný známý montážní celek pneumatiky a ráfku používá jiného ráfkového profilu pro uvedené standardní pneumatiky typu radiálního, se zkříženými vložkami („cross-ply“) a samonosného. Ráfek znázorněný na obr. 21, je opatřen na každou stranu průřezu úsekem 71, který je v podstatě přímoprázdný a dává plochý povrch, který se může dotýkat pneumatiky namontované na tento ráfek. Ráfek je dále na každou stranu opatřen obrubou 72, spojující úsek 71 s oblastí 73 sedla patky, na kterou směrem dovnitř po každé straně ráfku přímo navazuje drážka 74 táhnoucí se kolem ráfku. Mezi oběma drážkami 74 je provedena prohlubeň 75 pro montáž pneumatiky obvyklým způsobem.

Montážní celek pneumatiky a ráfku, znázorněný na obr. 23, obsahuje radiální pneumatiku s ocelovou vložkou 76 a textilní výztuž 77. Pneumatika má stejnou konstrukci jako první provedení. Textilní výztuž 77 sleduje standardní tvar od střední oblasti bočnice až k patkové oblasti, tj. počáteční část A textilní výztuže 77, je vypuklá a druhá část B textilní výztuže je vydutá, u obou částí to platí při pohledu z vnější strany pneumatiky. Vnější profil patky pneumatiky odpovídá ráfku a zejména úseku 71, takže pneumatika lícuje s ráfekem, jak znázorněno. Každá patka má patkový drážku 78 a vyčnívající špičku 79, zhotovenou z tvrdého pryžového materiálu, např. o tvrdosti 70 až 90° podle Shoreovy stupnice. Tvar špičky 79 je takový, že montážní celek pneumatiky a ráfku odpovídá obr. 23 a špička 79 je stejná, jako u prvního provedení.

Montážní celek pneumatiky a ráfku, znázorněný na obr. 24, je samonosná varianta pneumatiky znázorněné na obr. 23 a má jedinou radiální vložku 80 z umělého hedvábí a dvě ocelové vložky 81. Pneumatika má stejnou konstrukci, aby se vytvořila potřebná špička 79 zabírající do drážek 74 v ráfku. Vnější profil pneumatiky v oblasti patky a bočnice má opět takový tvar, že pneumatika lícuje s ráfekem, jak znázorněno na obr. 24 a popsáno v souvislosti s předchozím provedením.

Montážní celek znázorněný na obr. 25 má pneumatiku, u níž poměr mezi výškou a šířkou je menší než 1,0, v daném případě 0,65 a výztuž má neutrální vláknou, které sleduje, nejméně v poloviční výšce každou bočnici a jejich příslušného patkového drátu přirozenou rovnováhu kostry s jedinou vložkou bez podušky, když je taková kostra podrobena nahušťovacímu tlaku. Křivka je tečná k patkovým kroužkům, prochází okraji podušky a prochází boky v bočnicích, z nichž tečny k výztuži jsou kolmé k ose pneumatiky.

Pneumatika obsahuje výztužnou vložku

82 přehnuto u kolem každého drátu 83, 84 patky pneumatiky a ocelovou vložku 85 pro využití oblasti běhounu. Výstužná vložka 82 je ve spodní oblasti bočnice tak tvarovaná, že zůstává vydutá při pohledu z vnějšku pneumatiky, až se stává tečnou k patkovému drátu 83. Výstužná vložka 82 je tedy vydutá v celé oblasti C. Nad spodní oblastí C bočnice sleduje výstužná vložka 82 zmíněnou křivku neutrální rovnováhy až se v oblasti obvodu 86 hladce zkřiví a stává se tečnou k ocelové vložce 85, jak je znázorněno.

Výstužná vložka 82 je ve spodní oblasti C bočnice tvarovaná zvláštním způsobem tak, že je v podstatě rovnoběžná s přímočarým úsekem 81 ráfku.

Podle předloženého vynálezu je ale spodní oblast 87 patky tvarována stejně jako u prvního provedení a tvoří špičku 79, která zabírá do obvodové drážky 74 v ráfku a vytváří patkový uzávěr.

Jak popsáno v americkém patentovém spisu č. 3 910 336 je vlastností tohoto druhu pneumatiky, že lze měnit charakteristiku pneumatiky změnou šíře ráfku pro danou šíři pneumatiky. To lze provést, pokud se zachovají tvary obrubky, sedla patky a obvodová drážka, jak znázorněno, bez porušení uzávěru patky.

Dále bude popsána funkce předmětu vynálezu s odvoláním na první provedení s přihlédnutím k úseku pneumatiky v oblasti styku se zemí. Špička 10 patky je v radiálním směru delší než je hloubka patky. Podle obr. 2 a 5 je to 6 mm ku 5 mm. Když se tedy provede montáž dálé popsaným způsobem, je špička 10 pod určitým stupniem předběžného stlačení mezi obvodovou drážkou 15 v ráfku a prstencovou výstuží 4. Pneumatika se udržuje na ráfku normální napěťovou silou prstencové výstuže 4 působící na sedlo patky a montážní celek pneumatiky a kolo se může pohybovat normálně v nahuštěném stavu.

Obr. 6 ukazuje montážní celek pneumatiky a ráfku podle obr. 1 se splasklou oblastí styku mezi pneumatikou a zemí, ale nepůsobí na něho žádná boční síla. Při jízdě v zatáčce se vytvoří boční síla SF, jejíž velikost vzrůstá se vzrůstem bočního zrychlení. Tato boční síla deformuje bočnice pneumatiky vzhledem k ráfku a způsobí, že se patka na přívěsné straně otáčí. Protože je tu použito špičky 10 podle předloženého vynálezu, je středem otáčení patky konec špičky 10 patky, uložený osově a radiálně v obvodové drážce 15 vytvořené v ráfku. Moment je tedy SF X X₁, kde X₁ je vzdálenost naměřená radiálně od stykové oblasti běhounu ke středu rotace.

Patka pneumatiky se proti této rotaci udržuje momentem napětí prstencové výstuže kolem stejného středu otáčení patky. Hodnota tohoto momentu je T₁ X X₂, kde X₂ je osovou vzdáleností prstencové výstuže 4 od středu rotace. Je třeba poznamenat,

že tu není žádná udržovací síla následkem tlaku vzduchu, protože se předpokládá, že pneumatika je ve splaském stavu.

Obr. 7 ukazuje ve zvětšeném měřítku síly působící na sedlo patky na přívěsné straně při zahájení rotace patky. V znázorněném stavu vytvoření napětí T₁ patky, které předběžně stlačuje pryž v oblasti pod prstencovou výstuží 4, postačí k tomu, aby udržovala patku na jejím sedle třecím stykem.

Zvětšená boční síla vytváří zvětšený moment SF X X₁. To vyvolává rotaci patky a prstencová výstuž 4 se počne pohybovat ve směru I uvnitř ráfku. Prstencová výstuž 4 se tedy otáčí a pohybuje osově dovnitř do polohy znázorněné na obr. 8. Celá špička pneumatiky s účinnou délkou D₁ na obr. 7 se proto stlačí na menší účinnou délku D₂ na obr. 8, což ukazuje polohu, kdy pneumatika je vystavena určité boční síle. Špička 10 je v podstatě tuhá, protože je zhotovena z tvrdé pryže a má výstužnou vložku a následkem svých rozměrů je v podstatě tuhá proti stlačení. Reakční síly vyvolávají výslednou sílu F₃ od špičky 10 proti prstencové výstuži 4, s osovou vložkou F₄ směrem ven a radiální složkou F₅ směrem ven. Síly F₅ značně zvyšují napětí v prstencové výstuži 4. Toto napětí přidává k napěťové síle T₁ přídavnou složku T₂. Úchytný moment T₁ X X₂ se tedy zvětšuje na T₁X₃ + T₂X₃ a nastane otáčení patkového úseku kolem středu otáčení, je dosažen rovnovážný stav sil a nezvniká žádný další pohyb patky.

Tato rovnováha sil nastává v oblasti styku se zemí pouze tam, kde vysoká boční síla působí na pneumatiku skutečně od země. Ale zvýšené napětí prstencové výstuže 4 působí na celý obvod prstencové výstuže 4 a přitlačuje ji k ráfku. To zvyšuje upnutí patky pneumatiky na sedlo patky ráfku. Otáčení patky v oblasti styku se zemí může být řádu 90° uvažováno jako úhel otáčení normální úložné části patky.

Špička 10 patky mezi prstencovou výstuží 4 a obvodovou drážkou 15 může dosáhnout potřebné tuhosti i různými jinými prostředky než popsanou konstrukcí. Může se například zhotovit celá z tvrdé pryžové směsi nebo jiných elastomerových směsí. Směs může obsahovat známé příměsi, aby se dosáhlo požadovaných vlastností, například vláknové výstuže, lineárně nebo nahodile orientované.

Špička 10 může mít více než jednu výstužnou vrstvu 9 nebo může obsahovat textilii, která může být tkaná, netkaná či pltená a zhotovená z různých známých výstužných materiálů. Textilie výstužné vrstvy 9 se volí pro dva účely. Za prvé, aby se zabránilo vyboulení špičky 10 a aby se takto zvýšila tvarová tuhost když je špička 10 vystavena podélnému stlačení, za druhé, aby se usnadnila montáž, jak bude ještě popsáno. Budiž poznamenáno, že materiály

Špičky **10** nejsou v podstatě namáhány, kromě případu působení boční síly, který nastane, jede-li vozidlo s pneumatikou částečně nebo úplně prázdnou.

Konec špičky **10** musí ležet radiálně nebo osově uvnitř prstencové výztuže **4** patky, takže se dostane pod vzrůstající stlačení, když je patka vystavena rotačnímu momentu, jak shora popsáno. Moment, kterým boční síla působí na patku přívěsné strany, se může zvětšit v oblasti styku se zemí, aby bylo vyvoláno maximum stlačení a největší napětí prstencové výztuže **4**. Moment se může zvětšit použitím tužší oblasti spodní části bočnice, např. větším vrcholem patky než u obvyklých pneumatik a takový využitý vrchol je použit v příkladech. Spodní části bočnice se rozumí oblast mezi prstencovou výztuží **4** a vodorovnou čarou vedenou nejvíce částí pneumatiky, nahuštěné na normální provozní tlak a nezatížené.

Tvar konce špičky **10** není kritický. Po montáži na ráfek se pohybuje střed tlaku mezi koncem špičky a drážkou kolem základny obvodové drážky **15**, takže špička **10** se nevyboulí, když se patka otáčí vlivem boční síly. Výhodný tvar drážek má proto začlenou základnu, jak znázorněno. Lze ale ovšem též použít jiných tvarů.

Ráfek kola lze valcovat obvyklým výrobním postupem pro kola.

Počáteční umístění nebo upnutí konce špičky **10** v obvodové drážce **15** lze dále vylepšit zdrsněním obvodové drážky **15**, například vroubkováním, i když to u výše popsaných provedení není ani nutné.

Pneumatika se montuje na ráfek obvyklým způsobem. Pneumatiku lze nasadit přes obruby ručními nástroji, normální údržbářskou výstrojí nebo stroji pro automatickou montáž pneumatik. Při nahuštění vklouzne patka na svou sedlo vlivem nahuštovacího tlaku I. P., viz obr. 9. Špička **10** zhotovená z elastomerního materiálu se může ohnout do znázorněné polohy a když pak patka dosáhne konečné polohy na sedle ráfku, může špička **10** zaskočit do obvodové drážky **15** působením tvarové paměti pryže špičky **19** v součinnosti s výztužnou vrstvou **9**. Po úplném nahuštění usedne špička **10** spolehlivě v obvodové drážce **15**, jak znázorněno na obr. 1 a 3, takže konec špičky **10** je radiálně a osově umístěn v základně obvodové drážky **15** a špička **10** pod určitým stupněm předběžného stlačení mezi obvodovou drážkou **15** a prstencovou výztuží **4**.

Pro zajištění správné montáže musí být délka **H₁** špičky, měřeno od patního bodu **H.P.1** až ke konci špičky **10** menší než vzdálenost od patního bodu **H.P.2** ráfku podél sedla patky a k nejbližšímu bodu na přivrácené straně **19** obvodové drážky **15**, tj. délka čáry **H₂**.

Aby v popsaných provedeních byla možná montáž pneumatiky, musí být vzdálenost,

měřená v osovém směru od svislé části obrub vzdálenost od konce špičky **10** ke svislé čáře patky dotýkající se obrub, před montáží pneumatiky. U popsaných příkladů jsou oba tyto rozměry 20 mm.

Obr. 10 ukazuje vysunutí patky pneumatiky. Obvyklý nástroj **20** na demontáž pneumatiky se nasadí mezi obrubu **21** ráfku a zatlačí se pak ke středu montážního celku pneumatiky a ráfku v osovém směru. Síla nevyvolává nějaké podstatné otáčení patky a patku lze úspěšně uvolnit bočními cestami ohýbajícími špičkou a bez jakéhokoliv poškození patky nebo špičky.

Popsané ráfky s pneumatikami podle výnálezu byly zkoušeny jako přední vnější kolá v zatačce tvaru J, tj. jízda v přímém směru, po níž následovalo plné zablokování řízení, s odstraněným kuželem ventilků. Zkouška se opakovala při postupně vyšších rychlostech na velmi přilnavém dehtovém makadamu povrchu vozovky. U žádného provedení nedošlo k vysunutí patky pneumatiky při rychlosti 64 km za hodinu, což představuje působící boční zrychlení rádu 1 G. Při vyšší rychlosti nevznikají větší boční síly, protože za takových okolností vozidlo klouže. Při slalomových zkouškách, při rychlostech přesahujících 113 km za hodinu, když se měnil směr boční síly, rovněž nedocházelo k vysunutí patky. Pneumatiky se podobným způsobem osvědčily na všech ostatních kolech.

Pneumatiky tedy byly úplně zabezpečeny proti vysunutí při maximálně se vyskytující boční síle, i při mezuích zkušebních podmínkách.

I po uvedených zkouškách se pneumatiky daly snadno demontovat s ráfků s použitím ručního stroje pro demontáž pneumatiky.

Ráfky o různých šířích a pneumatiky o různých rozměrech byly úspěšně zkoušeny s použitím otevřených drážek pro patky podle předloženého výnálezu. V případě různě širokých ráfek může být zapotřebí různě tlustých materiálů pro zajištění potřebné síly ráfek a pro umožnění vhodného valcování mění se příslušné rozměry drážky. Rozměry špiček pneumatik se také mění v příslušném poměru a výnález pracuje přesně jako ve shora popsaném případě.

Výnález pracuje s různými šířemi úseků pneumatiky, poměrem stran a průměry patky a týká se také všech dalších známých konstrukcí pneumatiky s duší či bezdušovými, tj. pneumatik radiálních, opásaných s předpětím (belted bias tyre), se skříženými vložkami (cross-ply tyres) a samonosných typu „Denovo“ (ochr. známka).

Otevřená drážka pro patku se výhodně použije u obou patek, ačkoliv ho lze použít také jen u jedné patky, a to buď na návěsné či přívěsné straně.

PŘEDMĚT VYNÁLEZU

1. Pneumatika kola motorového vozidla, která sestává z běhounu, bočnice a dvojice patek, z nichž každá má v podstatě neroztažnou prstencovou výztuž, přičemž patky jsou usazeny na sedlech po obou stranách ráfku, vyznačující se tím, že alespoň jedna patka pneumatiky je opatřena radiálně dovnitř vyčnívající špičkou (10), která obsahuje elastomerní materiál uložený podélně od prstencové výztuže (4) až ke hrotu ve směru radiálně a osově dovnitř vzhledem k prstencové výztuži (4), kterýžto elastomerový materiál je poddajný ve směru kolmém na jeho délku, pro montáž pneumatiky, a v podstatě tuhý ve směru své délky.

2. Pneumatika podle bodu 1, vyznačující se tím, že na špičce (10) je u jejího vnějšího povrchu uložena výztužná vrstva (9) pro zvýšení tuhosti špičky (10).

3. Pneumatika podle bodu 2, vyznačující se tím, že výztužná vrstva (9) je umístěna od vrcholku špičky (10) kolem osově vnitřního povrchu špičky (10) až nejméně do radiální výšky středu prstencové výztuže (4).

4. Pneumatika podle bodu 2, vyznačující se tím, že výztužná vrstva (9) je uložena v oblasti sedla (18) patky kolem špičky (10) a nahoru podél osově vnitřního povrchu špičky (10) až nejméně do radiální výšky středu prstencové výztuže (4).

5. Pneumatika podle bodu 2, 3 nebo 4, vyznačující se tím, že výztužná vrstva (9) obsahuje nejméně jednu vložku materiálu.

6. Pneumatika podle bodu 4, vyznačující se tím, že výztužná vrstva (9) obsahuje textilii.

7. Pneumatika podle bodu 5, vyznačující se tím, že textilie má perlínkovou vazbu.

8. Pneumatika podle bodu 6, vyznačující se tím, že textilie je nylon.

9. Pneumatika podle bodu 5, vyznačující se tím, že textilie je pletená.

10. Pneumatika podle bodu 1, vyznačující se tím, že elastomerní materiál špičky (10) má tvrdost, měřenou za laboratorních podmínek, vyšší než 50° podle Shoreovy stupnice.

11. Pneumatika podle bodu 1, vyznačující se tím, že špička (10) patky je profilovaná doplňkově k vodové drážce (15) na sedle (18) ráfku.

12. Pneumatika podle bodu 1, vyznačující se tím, že osová délka (H_1) špičky (10) a sedla (18) patky pneumatiky, narovnané a uložené v osovém směru pro montáž pneumatiky, měřeno od hrotu špičky (10) k patnímu bodu (HP_1), který je průsečíkem čáry (18') vedené podél usazovací části patky pneumatiky a čáry podél části patky stýkající se s obrubou, je menší než vzdálenost (H_2) od patního bodu (HP_2) na ráfku, měřená podél sedla (18) patky a k nejbližšímu bodu na osově přivrácené straně (19) obvodové drážky (15).

13. Pneumatika podle bodu 1, vyznačující se tím, že špička (10) pneumatiky se v osovém směru zužuje.

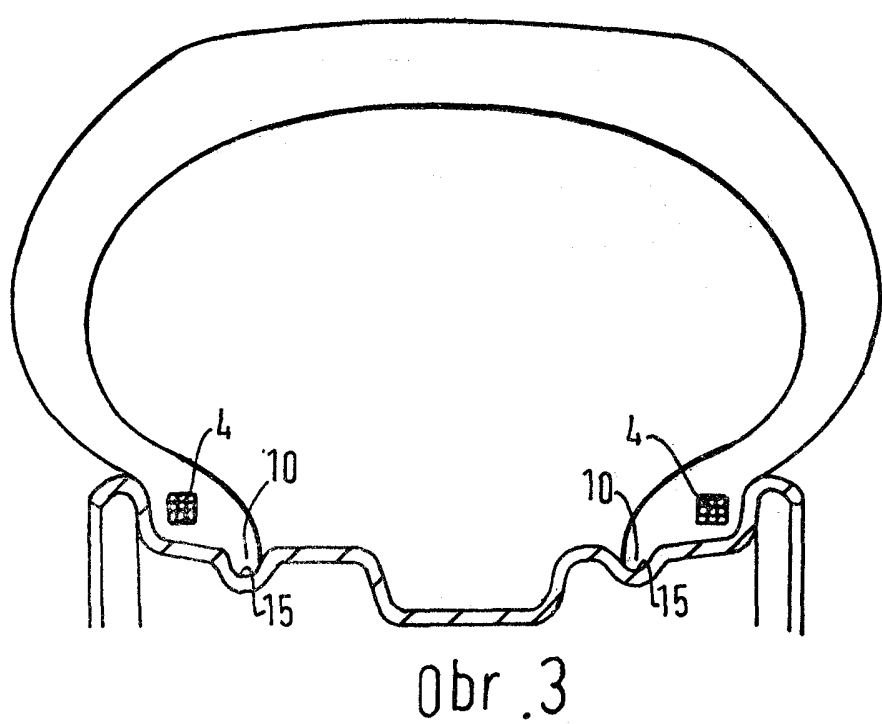
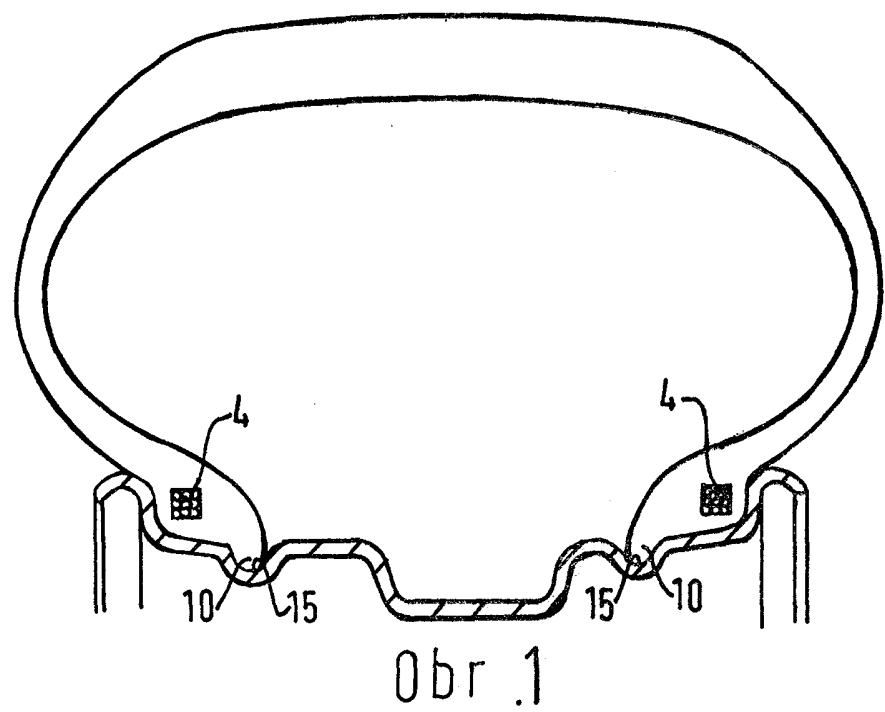
14. Pneumatika podle bodu 13, vyznačující se tím, že špička (10) obsahuje výztužnou vrstvu (9) upravenou kolem vnějšího povrchu špičky (10) a vedle ní.

15. Pneumatika podle bodu 14, vyznačující se tím, že výztužná vrstva (9) obsahuje tkanou textilii.

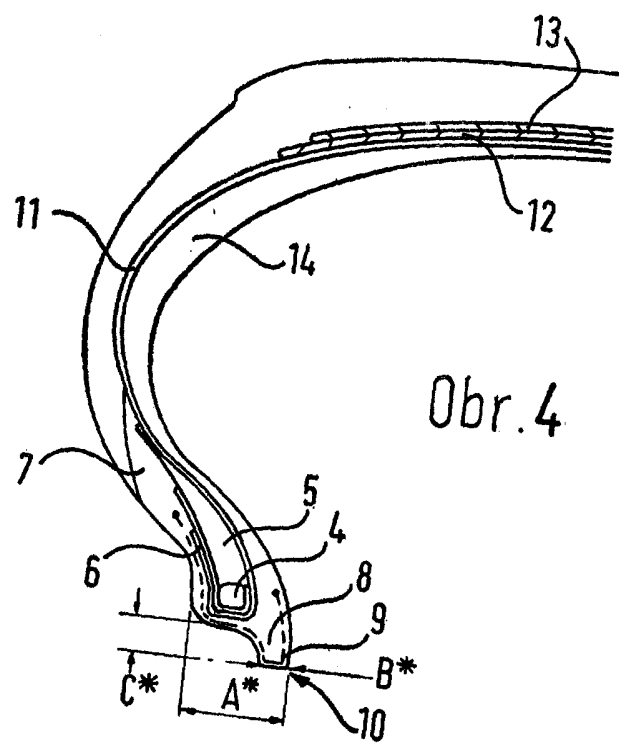
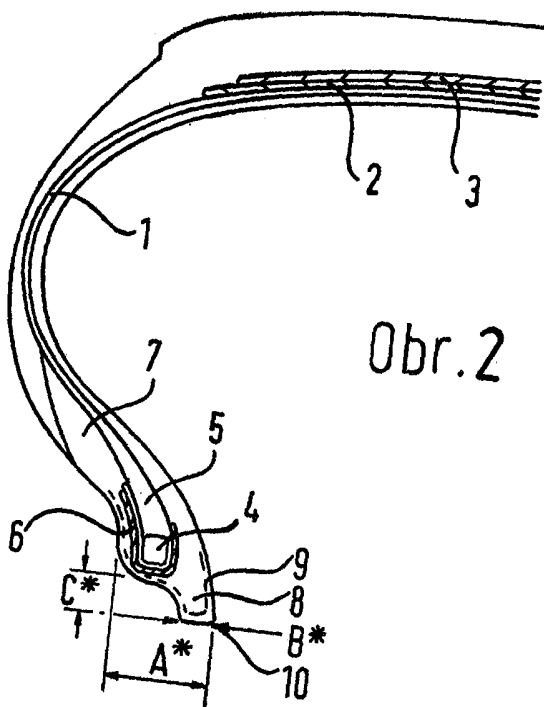
16. Pneumatika podle bodu 15, vyznačující se tím, že tkaná textilie má perlínkovou vazbu a směr osnovy a útku probíhá v podstatě v úhlu 45° k radiálnímu směru.

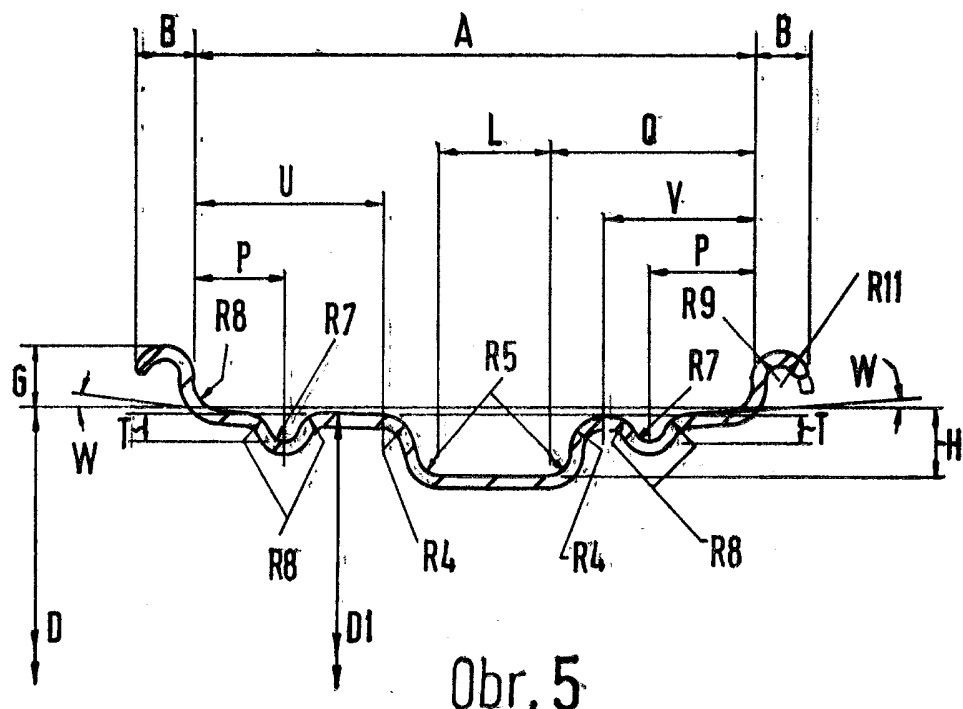
17. Pneumatika podle bodu 1, vyznačující se tím, že od prstencové výztuže (4) k oblasti střední bočnice je bočnice zesílena proti ohnutí.

251051

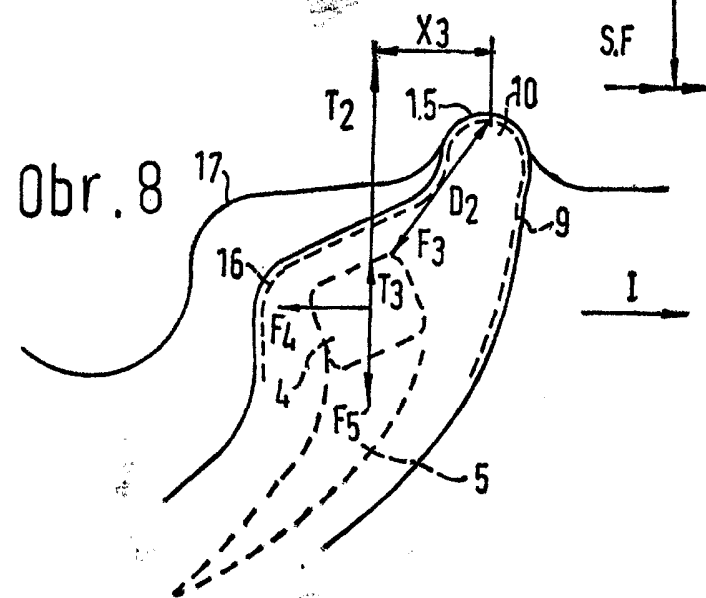
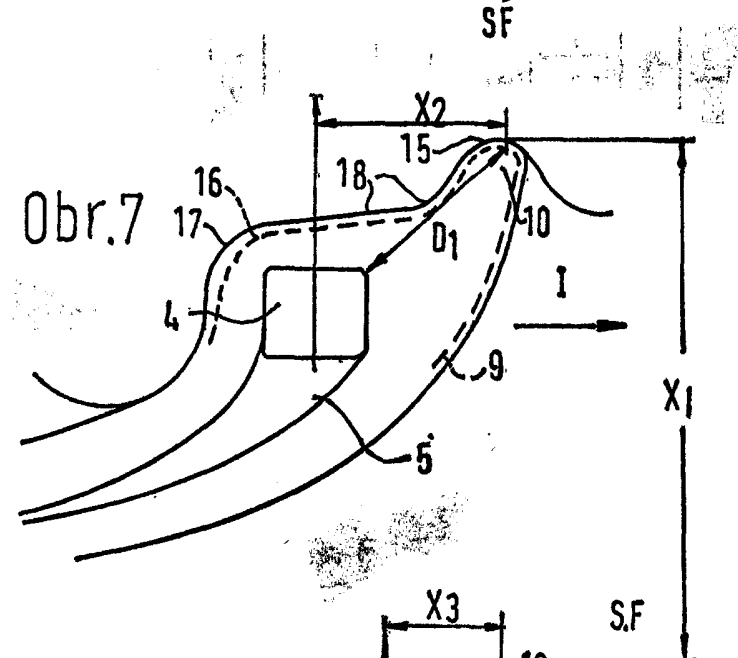
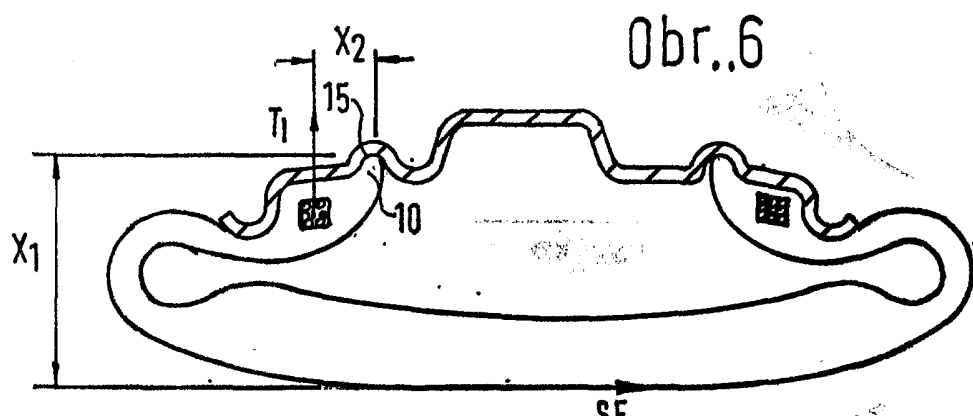


251051

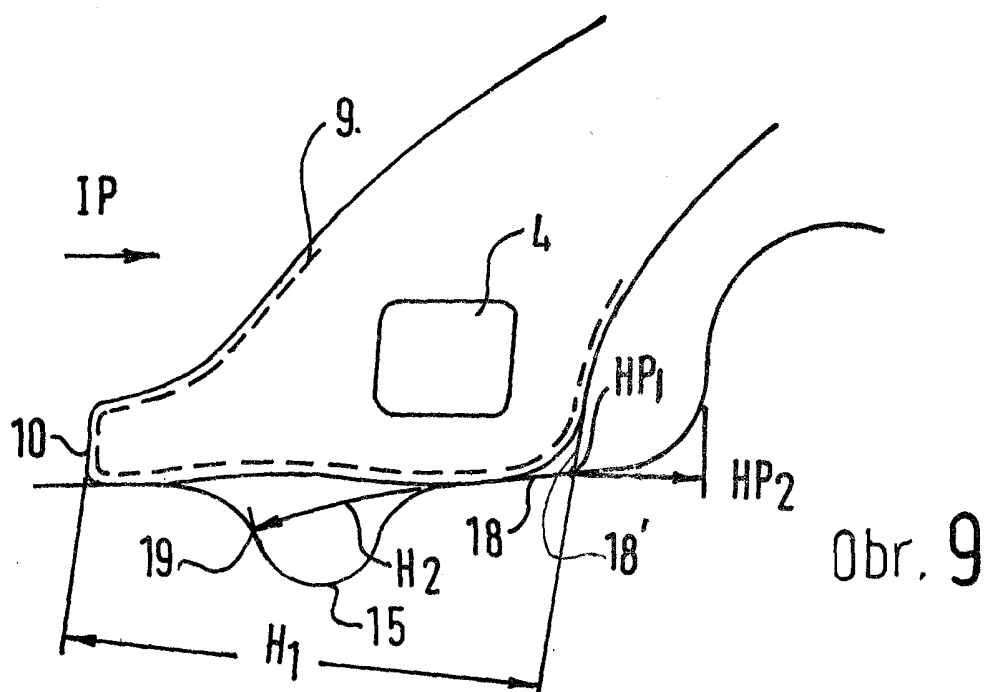




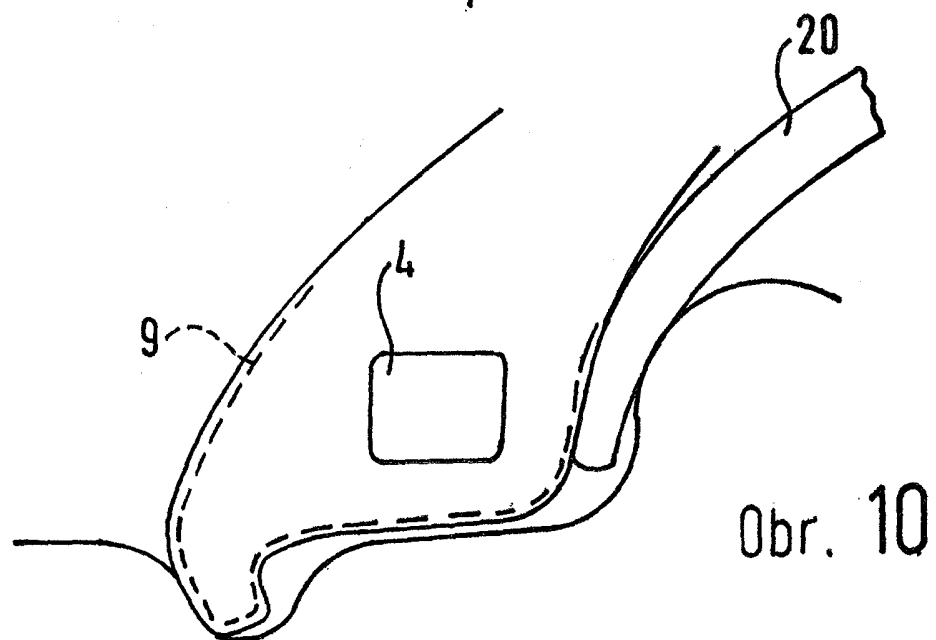
251051



251051

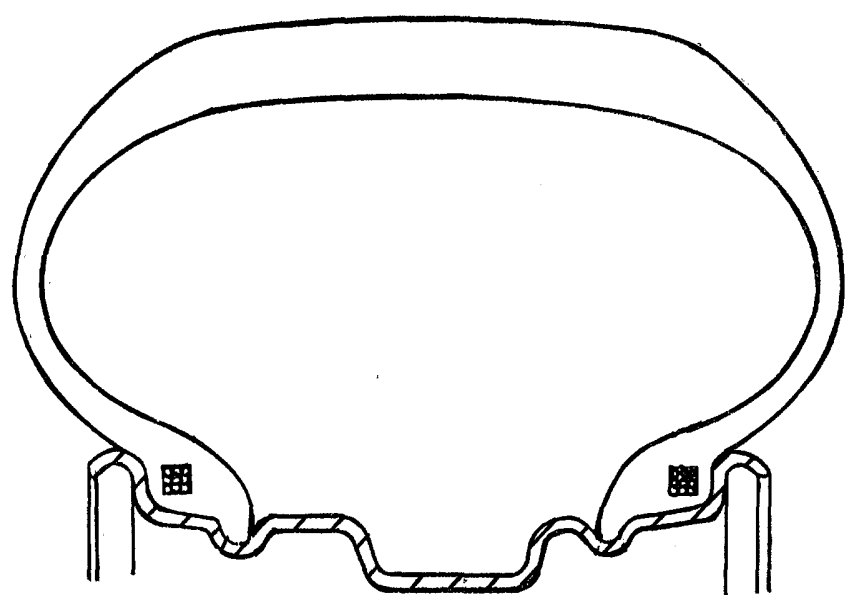


Obr. 9



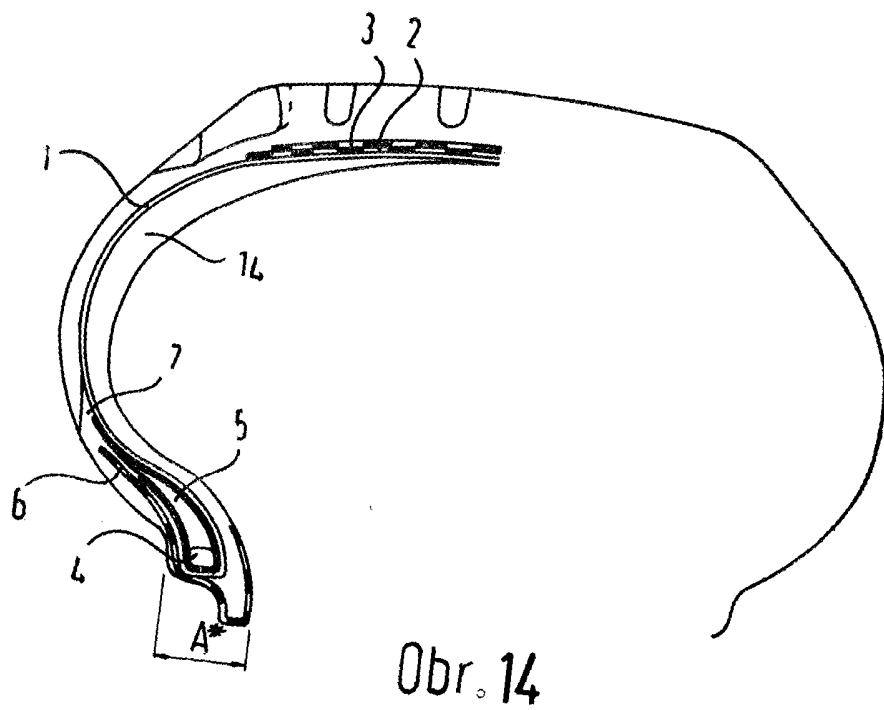
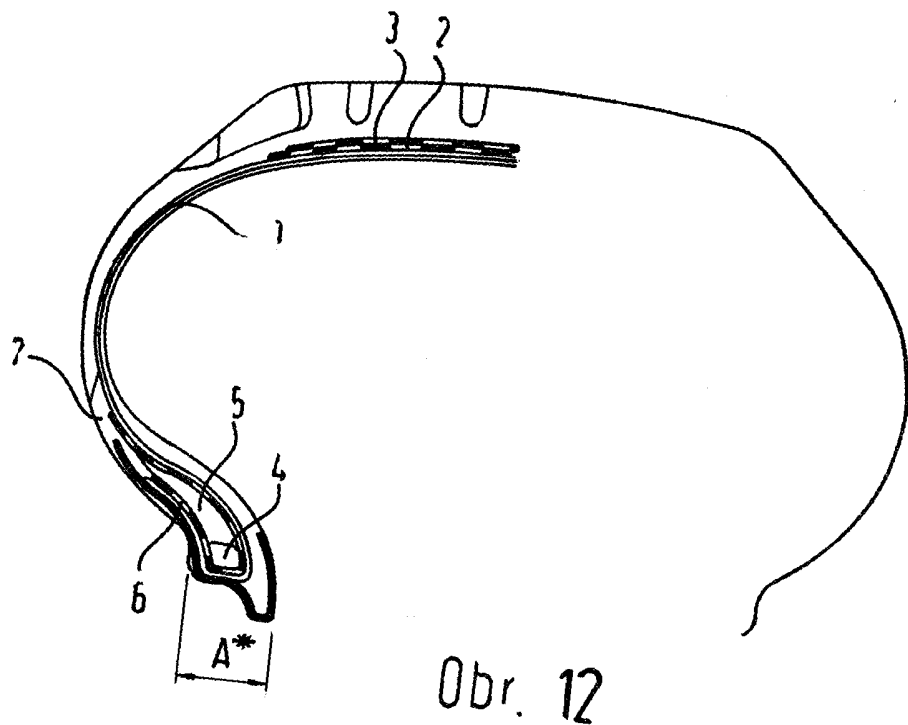
Obr. 10

251051

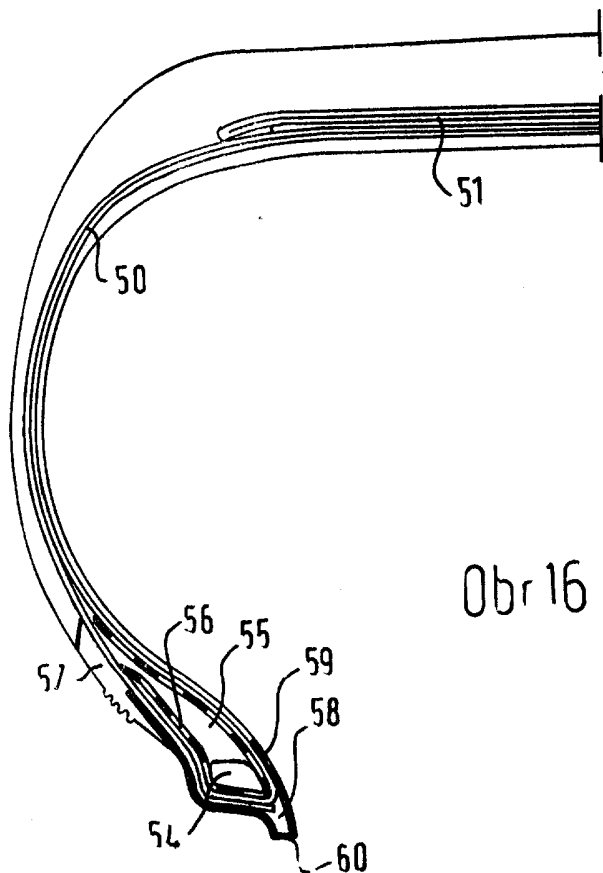
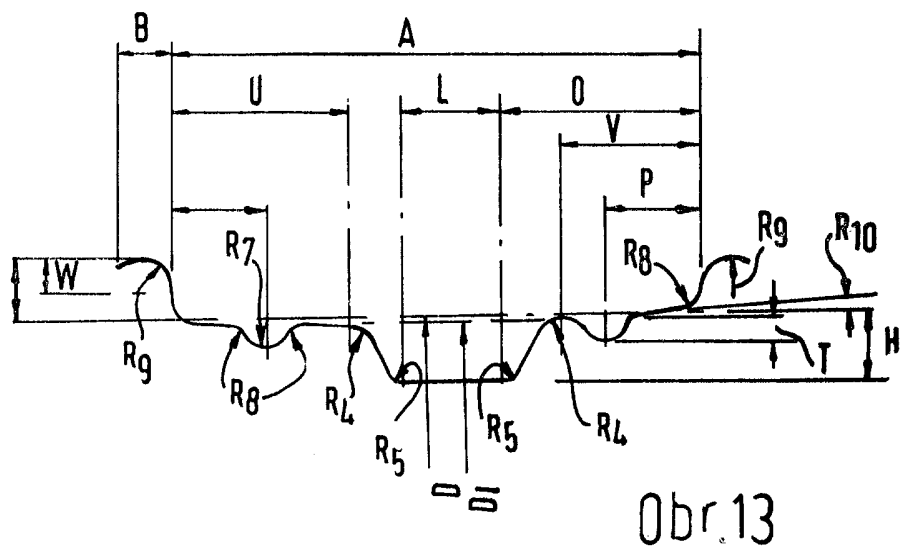


0br. 11

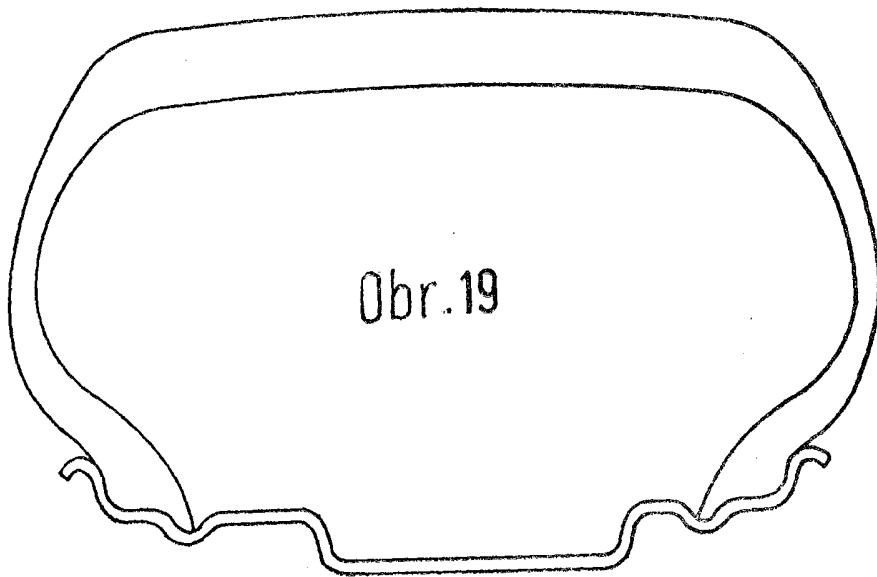
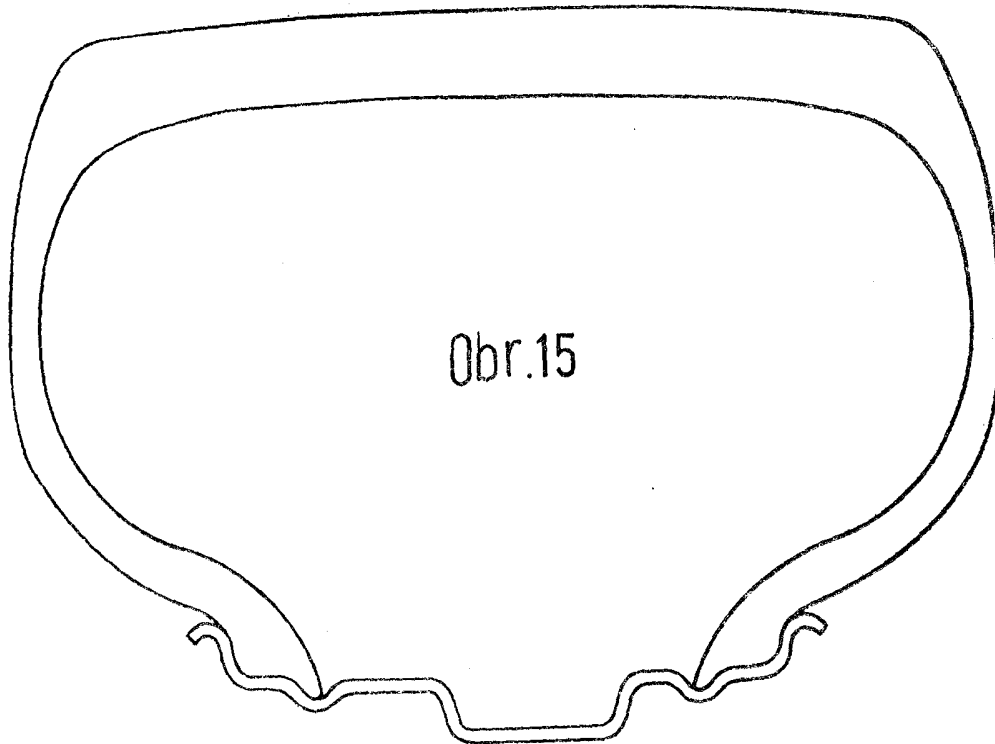
251051



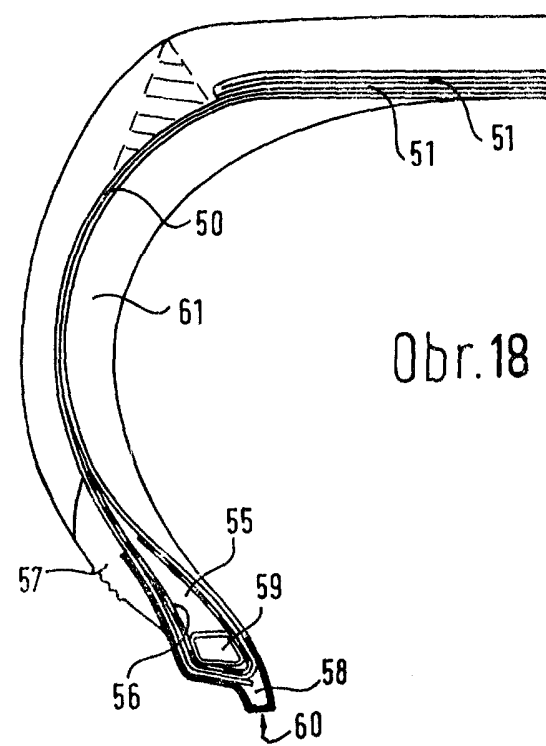
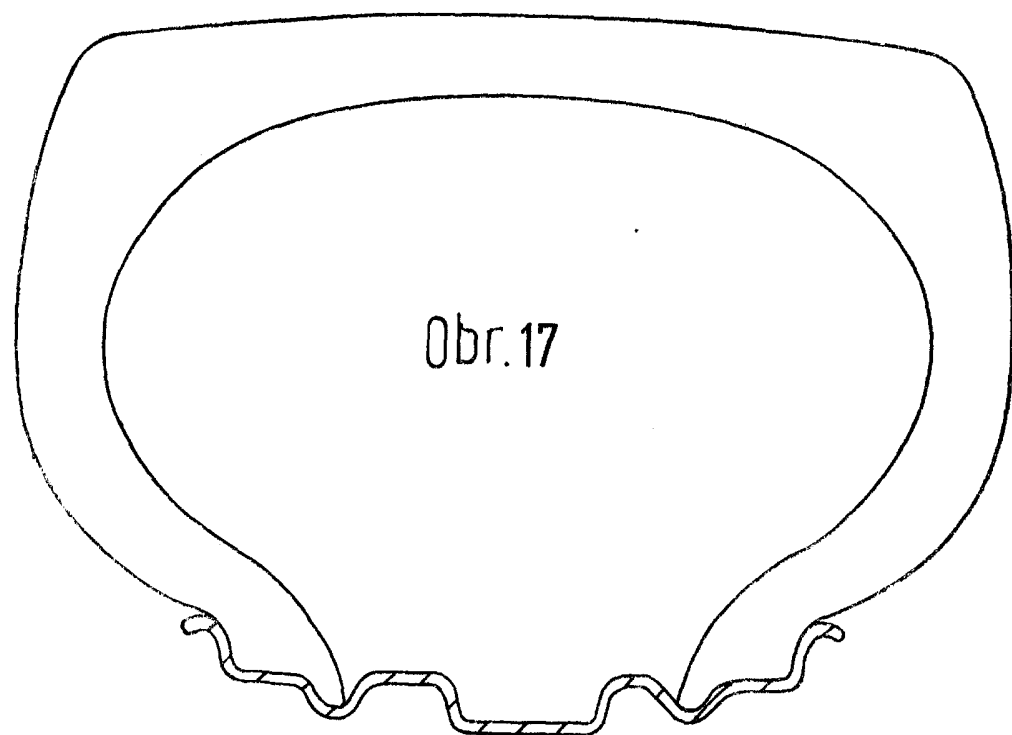
251051



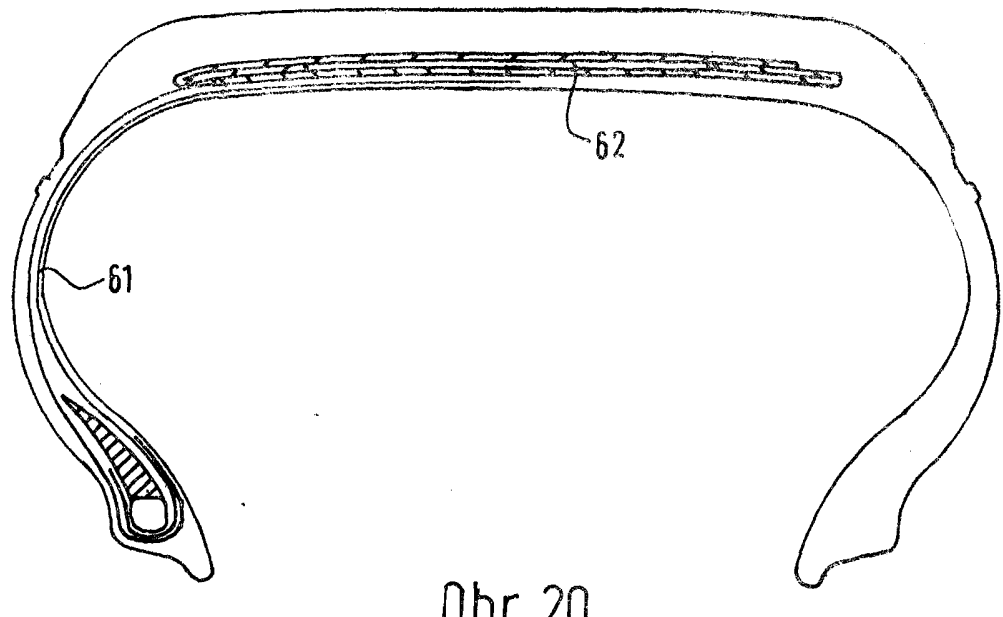
251051



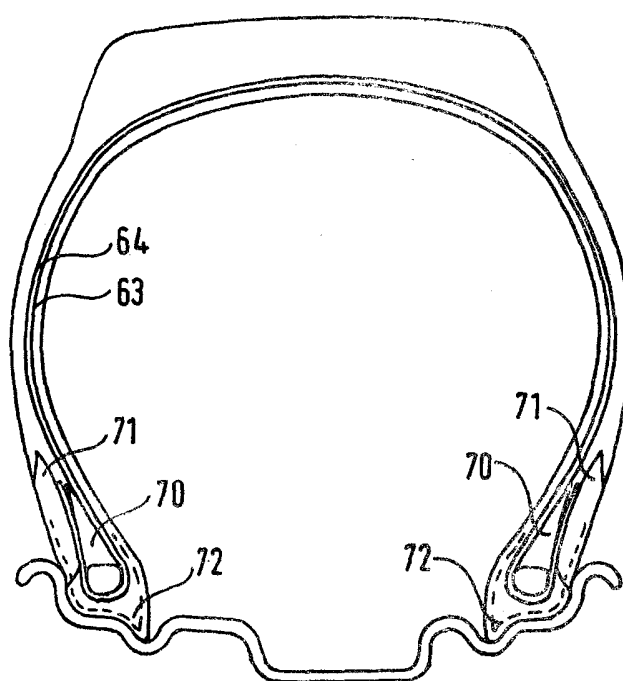
251051



251051

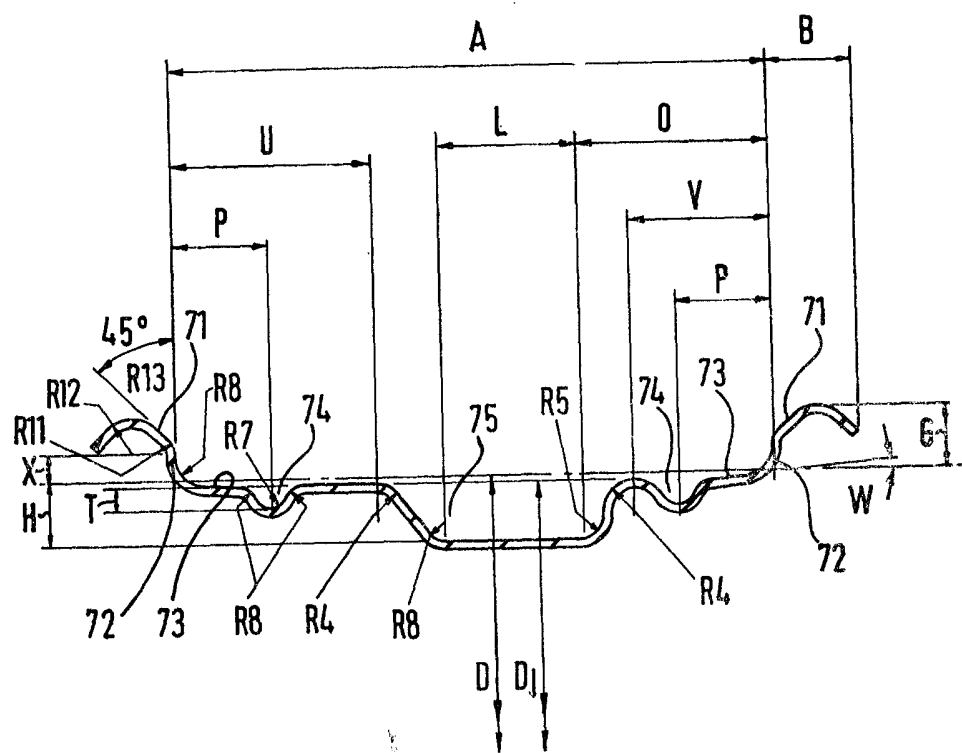


Obr. 20

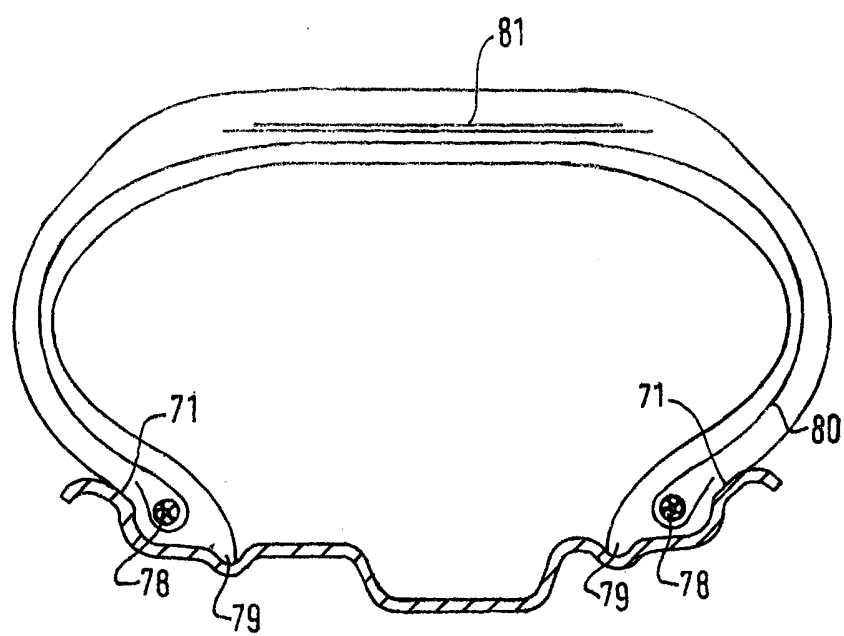


Obr. 21

251051

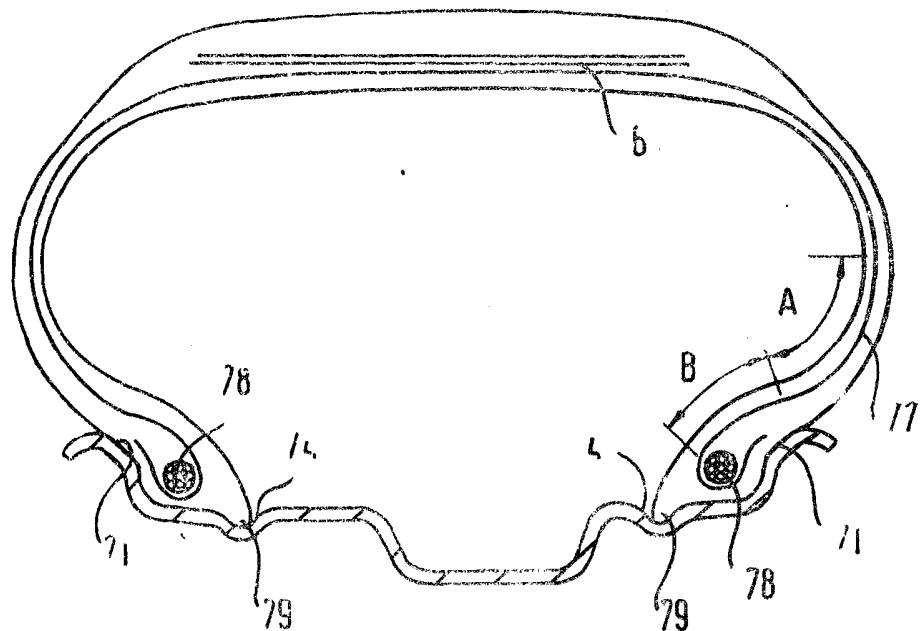


Obr. 22

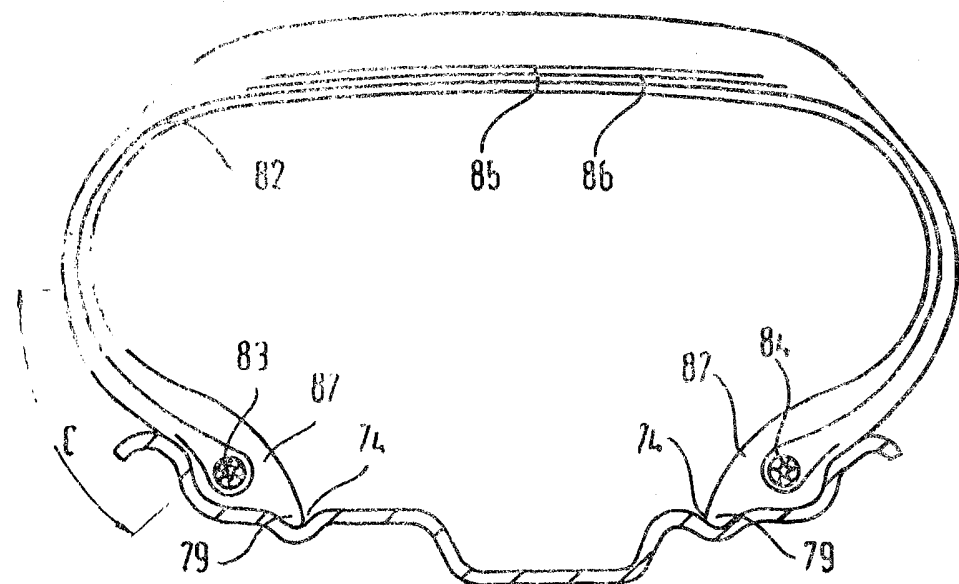


Obr. 24

251051



Obr 23



Obr 25